

西日本工業大学 正員 安原一哉

1. 緒言

著者は先に「フレーティング」工法に関する基礎的な検討を行った際、除荷後の再沈下が「リーフ」的であることをから、再圧密による強度変化を算定するための方法を示唆した。本稿、二つの方法は非排水せん断強度に及ぼす先行圧密荷重の載荷時間の影響を評価するために用いられるべきであることに気がいた。しかし、既報では紙面の都合でその方法を詳述できなかった。そこで、改めて二つの方針を紹介し、二、三の考察結果について述べることにする。

2. 二次圧密による強度増加

正規圧密状態の土試験体がある上載荷重 P_0 のもとで十分な時間二次圧密を受けて、 t_0 時間後 $P \rightarrow R$ に到達したとする。このとき、この土の先行荷重はもはや P_0 ではなく、 R なる疑似先行荷重を有することになる。この P_0 は $e - \log P$ 関係(図-1(a))の再負荷ラインが直線であると仮定すると

$$P_0 = P_0 \left(\frac{t_0}{t_0} \right)^{C_a/C_c / (1-C_r/C_c)} \quad \dots \dots \dots (1)$$

によれば考えらるとして Mesri¹⁾や村上²⁾によれば見出されています。
ここで、 C_a 、 C_c 、 C_r および C_r/C_c は次のように

$$\left. \begin{aligned} C_a &= \partial(\Delta e_s) / \partial \log t \\ C_c &= \partial(\Delta e_p) / \partial \log P \\ C_r &= \partial(\Delta e^r) / \partial \log P \end{aligned} \right\} \quad \dots \dots \dots (2)$$

である。

一方、二次圧密をうけて R 点に至った土試験体の非排水強度 $C_{u,n}$ は、直線を考えると、 Q 点より除荷されて R 点に至ったときの強度減少を考慮することによつて考えらるとして考えらるとしてできる。すなはち、中種³⁾によれば、図-1(b)において、 P_0 なる上載荷重で圧密された土試験体が除荷されて P_0 に至ったときの非排水強度は $C_{u,1}$ から $C_{u,n}$ に減少する。このときの強度 $C_{u,n}$ は、

$$C_{u,n} = \frac{K_c \cos \phi_e \cdot n^{-\lambda} + \{ K_{u,n} + A_{u,n} (1-K_{u,n}) \} \sin \phi_e \cdot n^{-1}}{1 + (2A_{u,n} - 1) \sin \phi_e} \quad p_c \quad \dots \dots \dots (3)$$

ここで、 K_c 、 ϕ_e ；Huorslev¹⁾定義された粘着力係数、有効内部摩擦角、 $K_{u,n}$ 、 $A_{u,n}$ ；過圧密土・静止土圧係数、間隙比係数、 λ ； C_r/C_c および n は過圧密比で式(1)で与えられる。

$$n = \frac{P_0}{P_0} = \left(\frac{t_0}{t_0} \right)^{C_a/C_c / (1-C_r/C_c)} = \left(\frac{t_0}{t_0} \right)^{R/(1-\lambda)} \quad \dots \dots \dots (4)$$

$$(R = C_a/C_c)$$

式(1)、(3)、(4)によつて、二次圧密をうけた土試験体の非排水せん断強度を評価することができる。

次に、 P_0 における強度は、 $P_0 = P_0$ であることを考慮すると、

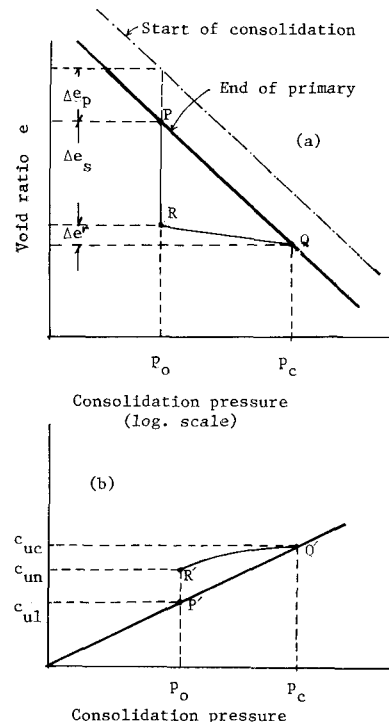


図-1 二次圧密による強度増加のための模式図

$$c_{u,n} = \frac{K \cdot \cos \phi_e + \{ K_{o,1} + A_1(1-K_{o,1}) \} \sin \phi_e}{1 + (2A_1 - 1) \cdot \sin \phi_e} \quad p_o \quad (5)$$

である。したがって、二次圧密による強度増加の割合は、式(3)と式(5)より

$$\frac{c_{u,n}}{c_{u,1}} = \frac{\frac{K \cdot \cos \phi_e \cdot n^{-\lambda} + \{ K_{o,n} + A_n(1-K_{o,n}) \} \cdot \sin \phi_e \cdot n^{-1}}{1 + (2A_n - 1) \cdot \sin \phi_e} \times n}{\frac{K \cdot \cos \phi_e + \{ K_{o,1} + A_1(1-K_{o,1}) \} \sin \phi_e}{1 + (2A_1 - 1) \cdot \sin \phi_e}}$$

によつて評価されることになる。

3. 計算例

著者らの研究室で土質試験用として用いられた有明
粘土($c_u=2$ 粘り)を用いて

$$\phi_e = 15.5^\circ, \quad K = 0.10 \sim 0.15$$

であることを知らねない。また、著者らの圧密試験の結果によると $t_0 = 10 \text{ min}$ (\sqrt{t} 法), $C_r/C_c = 0.12$ が平均値として選ばれた。事前の計算によると式(4)によれば在密比が 3.0 を超えることはないが、 $K_{on} = 0.6$, $A_n = 0.75$ が仮定された。

上記の数値をもとにして $c_{u,n}/c_{u,1}$ を計算して結果の一例が図-2 に示されている。 $c_{u,n}/c_{u,1} \sim n$ の関係において $n = 1.0$ ときは $c_{u,n}/c_{u,1} = 1$ となるが、これは数値の選択が任意であるため生じた誤差であると思われる。

いま一例として、ある荷重条件のもとで一次圧密を終了($t_0 = 10 \text{ 分}$)してこの粘土が約 1 年間圧密されるとの強度は次のようにして求められる。

まず、式(4)より、二次圧密によつて生じる類似先行荷重のために 1 年後 $n = 1.86$ となつていいことがわかる。これに相当する $c_{u,n}/c_{u,1}$ は図-2 により、1.46 である。したがつて、非排水強度増加 $\Delta c_{u,n}$ は $\Delta c_{u,n} = (1.46 - 1.15) c_{u,1} = 0.31 c_{u,1}$ となり、約 31% が一次圧密終了時よりも増加するといふ。

4. おわり

地盤改良効果の評価の際に必要と考えらねる二次圧密による強度増加を算定する方法を従来の研究成果にもとづいて提案してみた。計算結果の一部のみを示したに止まつたが、現在、提案法の妥当性を確かめねるための実験を計画中であるので、発表当日まで間に合えば一部を紹介したいと考えている。

引用文献

- 1) Mesri, G. and Y.K. Choi (1979); Excess Pore Water Pressures during Consolidation, Proc. 6th Asian Reg. Conf. SMFE, Vol. 1, pp. 151 - 154.
- 2) Murakami, Y. (1979); Excess Pore-water Pressure and Pre-consolidation Effect Developed in Normally Consolidated Clays of Some Ages, Soils and Foundations, Vol. 19, No. 4
- 3) 中瀬義(1969); 圧密および膨張による飽和粘土のせん断強度の変化, 港湾技術報告, Vol. 8, No. 4

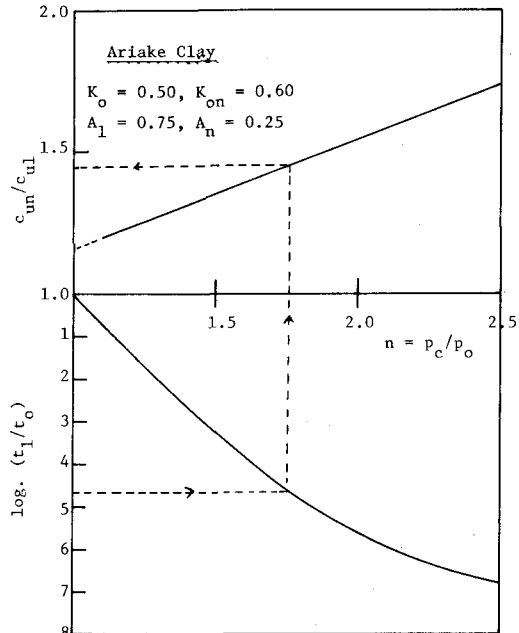


図-2 二次圧密による強度増加の計算例